

# *Informatik III*



Albert-Ludwigs-Universität Freiburg  
Rechnernetze und Telematik  
Prof. Dr. Christian Schindelhauer

**Christian Schindelhauer**  
Wintersemester 2006/07  
24. Vorlesung  
26.01.2007



# NP-Vollständigkeit

- **Gegeben ein unbekanntes NP-Problem  $X$ , sollte man**
  - nicht nur nach einem Algorithmus mit polynomieller Laufzeit forschen
    - $X \in P$
  - sondern auch nach einem NP-Vollständigkeitsbeweis
  
- **Beweisideen nicht unbedingt naheliegend ...**
  
- **Beispiele für NP-Vollständigkeitsbeweise**
  - VERTEX-COVER ist NP-vollständig
  - (U)HAMPATH ist NP-vollständig
  - SUBSET-SUM ist NP-vollständig



# Hamiltonsche Pfade

## ➤ Theorem:

- HAMPATH ist NP-vollständig

## ➤ Beweis:

- HAMPATH  $\in$  NP:

- Hamiltonscher Pfad  $(s, v_1, v_2, \dots, v_{n-2}, t)$  dient als Zertifikat  $c$  (Größe offensichtlich polynomiell in Eingabelänge)
- Verifizierer  $A(G=(V, E), s, t, c)$ 
  - Prüfe, ob  $c$  Kodierung einer Permutation der Knoten  $(s, v_1, v_2, \dots, v_{n-2}, t)$  ist
  - Für je zwei aufeinander folgende Knoten  $(x_1, x_2) \in c$ , prüfe, ob es eine gerichtete Kante  $(x_1, x_2) \in E$  gibt. Falls nicht, verwirfe.
  - Akzeptiere.
- Laufzeit von  $A$  polynomiell in der Eingabelänge

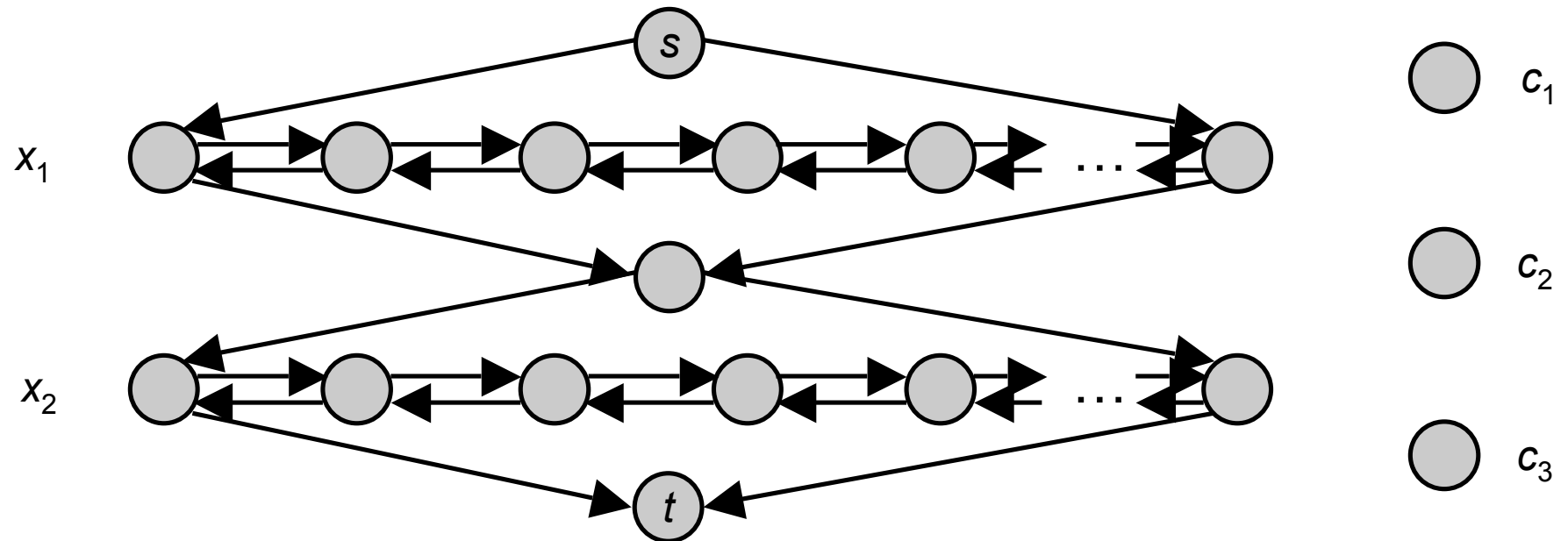
- z.z.: HAMPATH ist NP-schwierig



# Hamiltonsche Pfade

- Klauseln  $c_i$  aus  $\psi$  abbilden auf separate Knoten

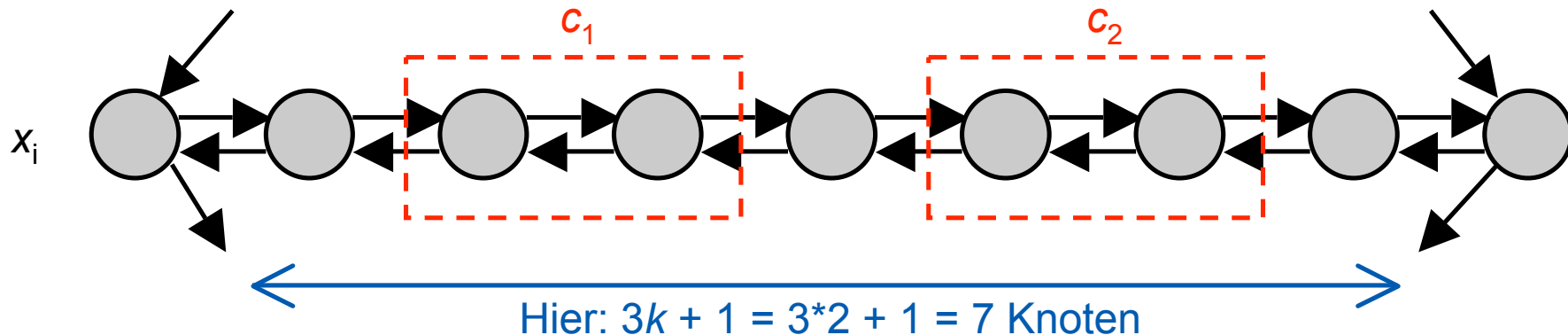
$$\psi = (x_1 \vee \bar{x}_1 \vee x_2) \wedge (\bar{x}_1 \vee \bar{x}_2 \vee \bar{x}_2) \wedge (\bar{x}_1 \vee x_2 \vee x_2)$$





# Hamiltonsche Pfade

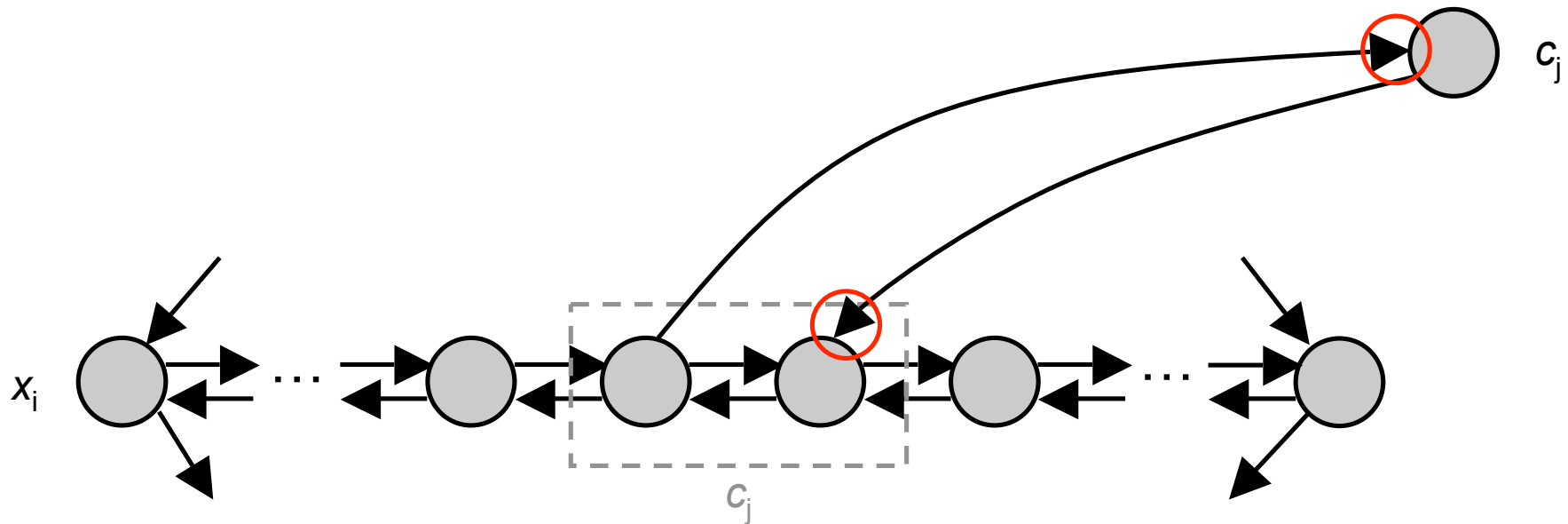
- Horizontale Knotenzeile einer Knotenstruktur im Detail:
  - Für jede Klausel  $c_1 \dots c_k$  ein Knotenpaar
  - „Trenner-Knoten“ zwischen den einzelnen Knotenpaaren, sowie am Anfang und Ende der Knotenzeile
  - d.h.  $3k + 1$  Knoten im Inneren der Rauten-Knotenstruktur





# Hamiltonsche Pfade

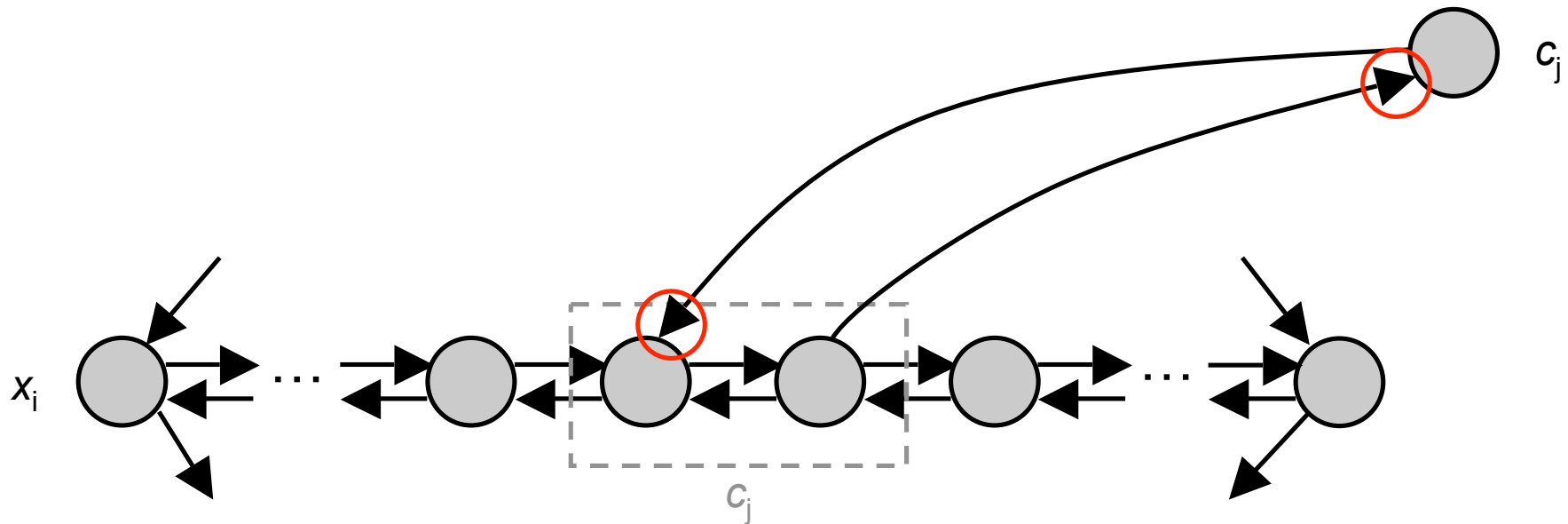
- Zusätzliche Kanten zu den Klausel-Knoten
  - Falls Klausel  $c_j$  die Variable  $x_i$  enthält:





# Hamiltonsche Pfade

- Zusätzliche Kanten zu den Klausel-Knoten
  - Falls Klausel  $c_j$  die Variable  $\bar{x}_i$  enthält:





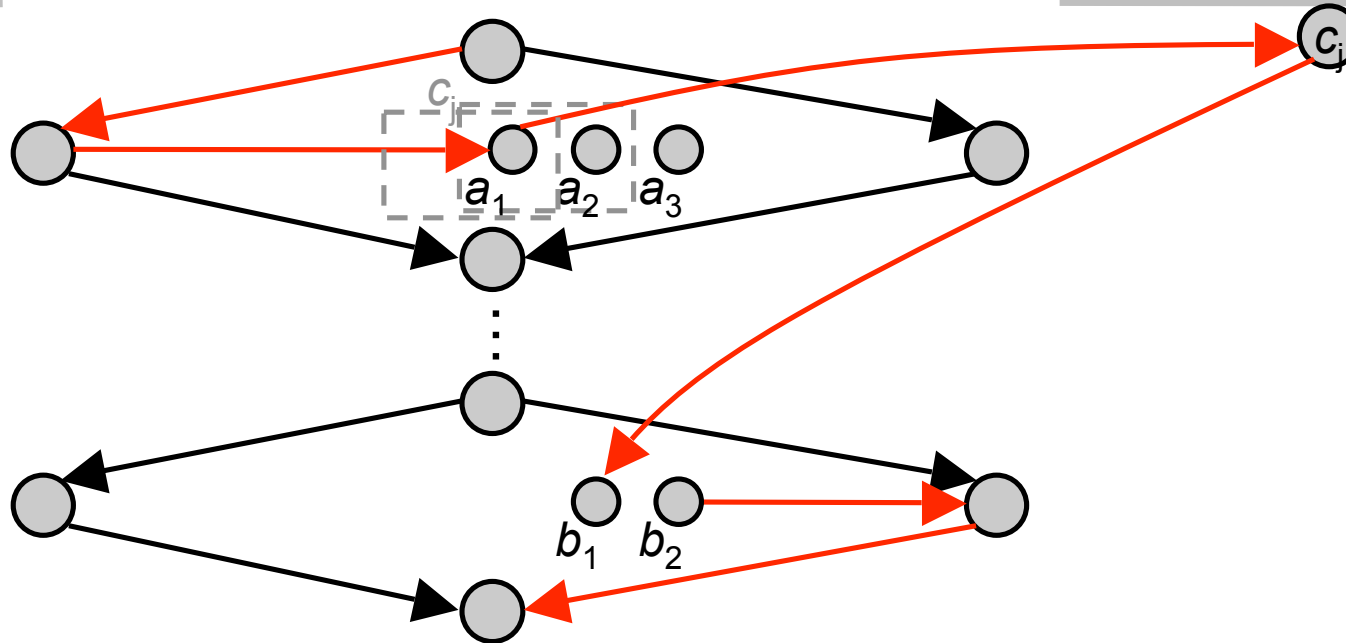
# Hamiltonsche Pfade

## ➤ **G besitzt einen Hamiltonschen Pfad** → $\psi$ ist erfüllbar

- Falls Rautenstrukturen der Reihe nach von oben nach unten durchlaufen werden:
  - Bestimme Variablenbelegung anhand „zick-zack“ bzw. „zack-zick“ Wegen
  - Hamiltonscher Pfad besucht alle Knoten, insbesondere auch alle separaten Klauselknoten
    - nach Konstruktion ist pro Klausel wenigstens ein Literal wahr
    - jede Klausel ist erfüllbar
    - $\psi$  ist erfüllbar
- Z.z.: Rautenstrukturen werden der Reihe nach von oben nach unten durchlaufen
  - Umrahmende Kanten der Rautenstrukturen gerichtet
    - Sprünge nur über Klauselknoten möglich



# Hamiltonsche Pfade



- Falls der Pfad einen Sprung macht, muss entweder Knoten  $a_2$  oder  $a_3$  ein Trenner-Knoten sein
- $a_2$  Trenner-Knoten  $\rightarrow a_2$  hat eingehende Kanten von  $a_1$  und  $a_3$
- $a_3$  Trenner-Knoten  $\rightarrow a_2$  hat eingehende Kanten von  $a_1$ ,  $a_3$  und  $c_j$
- $a_1$  und  $c_j$  schon im Pfad enthalten + Kante nach  $a_3$  einzig möglicher weiterführender Pfad  $\rightarrow$  kein Weg zurück nach  $a_2$
- Widerspruch!  $\rightarrow$  Pfad kann keinen Sprung gemacht haben



# Ungerichtete Hamiltonsche Pfade

Albert-Ludwigs-Universität Freiburg  
Institut für Informatik  
Rechnernetze und Telematik  
Prof. Dr. Christian Schindelhauer

---

➤ **Definition:**

- UHAMPATH = { (G, s, t) | Der ungerichtete Graph G enthält einen Weg von s nach t, der jeden Knoten genau einmal besucht. }

➤ **Theorem:**

- UHAMPATH ist NP-vollständig

➤ **Beweis:**

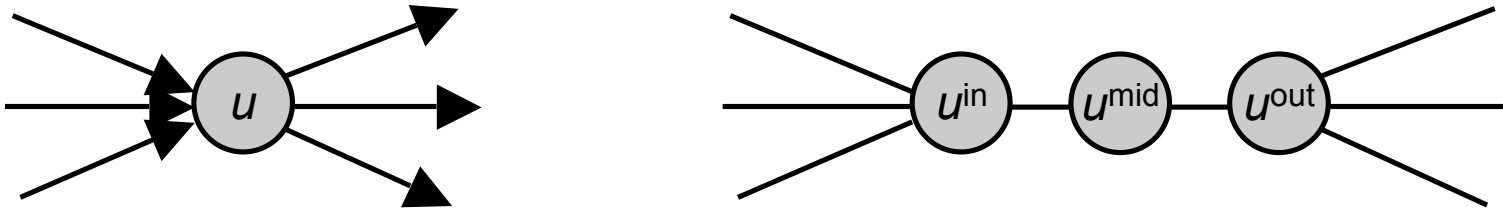
- UHAMPATH  $\in$  NP: Verifizierer analog zu HAMPATH
- Z.z.: UHAMPATH ist NP-schwierig



# Ungerichtete Hamiltonsche Pfade

- UHAMPATH ist NP-schwierig
- Beweis durch  $\text{HAMPATH} \leq_{m,p} \text{UHAMPATH}$

– Idee:



- Reduktionsfunktion:  $f(G, s, t) = (G', s^{\text{out}}, t^{\text{in}})$

- $G = (V, E)$ ,  $G' = (V', E')$
- Für alle  $u \in V \setminus \{s, t\}$ 
  - füge  $u^{\text{in}}, u^{\text{mid}}, u^{\text{out}}$  zu  $V'$  und  $\{u^{\text{in}}, u^{\text{mid}}\}, \{u^{\text{mid}}, u^{\text{out}}\}$  zu  $E'$  hinzu
- Für alle  $(u, v) \in E \setminus \{(*, s), (t, *)\}$ 
  - füge  $\{u^{\text{out}}, v^{\text{in}}\}$  zu  $E'$  hinzu
- Füge  $s^{\text{out}} = s, t^{\text{in}} = t$  zu  $V'$  hinzu



# Ungerichtete Hamiltonsche Pfade

➤  $(G, s, t) \in \text{HAMPATH} \rightarrow (G', s^{\text{out}}, t^{\text{in}}) \in \text{UHAMPATH}$

- Dem Pfad  $s, u_1, u_2, \dots, u_k, t$  in  $G$  entspricht
- nach Konstruktion offensichtlich der Pfad
- $s^{\text{out}}, u_1^{\text{in}}, u_1^{\text{mid}}, u_1^{\text{out}}, u_2^{\text{in}}, u_2^{\text{mid}}, u_2^{\text{out}}, \dots, t^{\text{in}}$  in  $G'$

➤  $(G', s^{\text{out}}, t^{\text{in}}) \in \text{UHAMPATH} \rightarrow (G, s, t) \in \text{HAMPATH}$

- auf  $s^{\text{out}}$  muss ein  $u_i^{\text{in}}$  folgen
- auf alle  $u_i^{\text{in}}$  müssen  $u_i^{\text{mid}}$  und  $u_i^{\text{out}}$  folgen
- auf alle  $u_i^{\text{out}}$  muss ein  $u_j^{\text{in}}$  folgen (Spezialfall:  $u_i^{\text{out}} \rightarrow t^{\text{in}}$ )
- Da es keine Kanten  $\{t^{\text{in}}, u_i^{\text{in}}\} \in E'$  gibt, muss der Pfad in  $t^{\text{in}}$  enden. Weiterhin enthält der Pfad alle Knoten.  
→ Es gibt einen entsprechenden Hamiltonschen Pfad in  $G$



# Das Teilsummenproblem

## ➤ Definition SUBSET-SUM:

– Gegeben:

- Menge von natürlichen Zahlen  $S = \{x_1, \dots, x_k\}$
- Eine natürliche Zahl  $t$

– Gesucht:

- Gibt es eine Teilmenge  $\{y_1, \dots, y_m\} \subseteq \{x_1, \dots, x_k\}$  so dass

$$\sum_{i=1}^m y_i = t$$

## ➤ Theorem:

- SUBSET-SUM ist NP-vollständig



# Das Teilsummenproblem

## ➤ Beweis:

- SUBSET-SUM  $\in$  NP:
  - Teilmenge  $\{y_1, \dots, y_m\}$  dient als Zertifikat  $c$  (Größe offensichtlich polynomiell in Eingabelänge)
  - Verifizierer  $A(S, t, c)$ 
    - Prüfe, ob  $c$  Kodierung einer Teilmenge  $\{y_1, \dots, y_m\}$  von  $S$  ist
    - Addiere die Elemente von  $\{y_1, \dots, y_m\}$  auf. Falls die Summe  $t$  ist, akzeptiere. Andernfalls verwirf.
  - Laufzeit von  $A$  polynomiell in der Eingabelänge
- z.z.: SUBSET-SUM ist NP-schwierig
  - Beweis durch  $3\text{-SAT} \leq_{m,p} \text{SUBSET-SUM}$



# Das Teilsummenproblem

➤ **Sei  $\psi$  eine Boolesche Formel**

– mit Variablen  $x_1, \dots, x_k$  und Klauseln  $c_1, \dots, c_m$ .

➤ **Konstruiere die Menge  $S$  wie folgt:**

– Für jede Variable  $x_i$  füge zwei Zahlen  $y_i, z_i$  hinzu

– Für jede Klausel  $c_j$  füge zwei Zahlen  $g_j, h_j$  hinzu

– Initialisiere  $y_i, z_i$  mit  $10^{i+m-1}$  (Ziffern im Dezimalsystem)

– Für jedes Literal  $x_i$  in Klausel  $c_j$  addiere  $10^{j-1}$  zu  $y_i$

– Für jedes Literal  $x_i$  in Klausel  $c_j$  addiere  $10^{j-1}$  zu  $z_i$

– Initialisiere  $g_j, h_j$  mit  $10^{j-1}$

– Wähle  $t$  als  $(k+m)$ -stellige Dezimalzahl, bestehend aus  $k$  1en gefolgt von  $m$  3en

– Reduktion in polynomieller Zeit durchführbar



# Das Teilsummenproblem

➤ Beispiel für  $\psi = (x_1 \vee x_1 \vee x_2) \wedge (\overline{x_1} \vee \overline{x_2} \vee \overline{x_2}) \wedge (\overline{x_1} \vee x_2 \vee x_2)$

S	2	1	c <sub>3</sub>	c <sub>2</sub>	c <sub>1</sub>
y <sub>1</sub>					
z <sub>1</sub>					
y <sub>2</sub>					
z <sub>2</sub>					

**1. Schritt:**

**Für jede Variable  $x_i$  füge zwei Zahlen  $y_i, z_i$  hinzu**



# Das Teilsummenproblem

➤ Beispiel für  $\psi = (x_1 \vee x_1 \vee x_2) \wedge (\overline{x_1} \vee \overline{x_2} \vee \overline{x_2}) \wedge (\overline{x_1} \vee x_2 \vee x_2)$

S	2	1	$c_3$	$c_2$	$c_1$
$y_1$					
$z_1$					
$y_2$					
$z_2$					
$g_1$					
$h_1$					
$g_2$					
$h_2$					
$g_3$					
$h_3$					

**2. Schritt:**

**Für jede Klausel  $c_j$  füge zwei Zahlen  $g_j, h_j$  hinzu**



# Das Teilsummenproblem

➤ Beispiel für  $\psi = (x_1 \vee \bar{x}_1 \vee x_2) \wedge (\bar{x}_1 \vee \bar{x}_2 \vee \bar{x}_2) \wedge (\bar{x}_1 \vee x_2 \vee x_2)$

S	2	1	$c_3$	$c_2$	$c_1$
$y_1$	0	1	0	0	0
$z_1$	0	1	0	0	0
$y_2$	1	0	0	0	0
$z_2$	1	0	0	0	0
$g_1$					
$h_1$					
$g_2$					
$h_2$					
$g_3$					
$h_3$					

**3. Schritt:**

Initialisiere  $y_i, z_i$  mit  $10^{i+m-1}$



# Das Teilsummenproblem

➤ Beispiel für

$$\psi = (x_1 \vee x_1 \vee x_2) \wedge (\overline{x_1} \vee \overline{x_2} \vee \overline{x_2}) \wedge (\overline{x_1} \vee x_2 \vee x_2)$$

S	2	1	$c_3$	$c_2$	$c_1$
$y_1$	0	1	0	0	1
$z_1$	0	1	0	0	0
$y_2$	1	0	0	0	0
$z_2$	1	0	0	0	0
$g_1$					
$h_1$					
$g_2$					
$h_2$					
$g_3$					
$h_3$					

4. Schritt:

Für jedes Literal  $x_i$  in Klausel  $c_j$  addiere  $10^{j-1}$  zu  $y_i$



# Das Teilsummenproblem

➤ Beispiel für

$$\psi = (x_1 \vee x_1 \vee x_2) \wedge (\overline{x_1} \vee \overline{x_2} \vee \overline{x_2}) \wedge (\overline{x_1} \vee x_2 \vee x_2)$$

S	2	1	$c_3$	$c_2$	$c_1$
$y_1$	0	1	0	0	1
$z_1$	0	1	0	0	0
$y_2$	1	0	0	0	1
$z_2$	1	0	0	0	0
$g_1$					
$h_1$					
$g_2$					
$h_2$					
$g_3$					
$h_3$					

4. Schritt:

Für jedes Literal  $x_i$  in Klausel  $c_j$  addiere  $10^{j-1}$  zu  $y_i$



# Das Teilsummenproblem

➤ Beispiel für

$$\psi = (x_1 \vee x_1 \vee x_2) \wedge (\overline{x_1} \vee \overline{x_2} \vee \overline{x_2}) \wedge (\overline{x_1} \vee x_2 \vee x_2)$$

S	2	1	$c_3$	$c_2$	$c_1$
$y_1$	0	1	0	0	1
$z_1$	0	1	0	0	0
$y_2$	1	0	1	0	1
$z_2$	1	0	0	0	0
$g_1$					
$h_1$					
$g_2$					
$h_2$					
$g_3$					
$h_3$					

4. Schritt:

Für jedes Literal  $x_i$  in Klausel  $c_j$  addiere  $10^{j-1}$  zu  $y_i$



# Das Teilsummenproblem

➤ Beispiel für

$$\psi = (x_1 \vee x_1 \vee x_2) \wedge (\overline{x_1} \vee \overline{x_2} \vee \overline{x_2}) \wedge (\overline{x_1} \vee x_2 \vee x_2)$$

S	2	1	$c_3$	$c_2$	$c_1$
$y_1$	0	1	0	0	1
$z_1$	0	1	0	1	0
$y_2$	1	0	1	0	1
$z_2$	1	0	0	0	0
$g_1$					
$h_1$					
$g_2$					
$h_2$					
$g_3$					
$h_3$					

5. Schritt:

Für jedes Literal  $\overline{x_i}$  in Klausel  $c_j$  addiere  $10^{j-1}$  zu  $z_i$



# Das Teilsummenproblem

➤ Beispiel für

$$\psi = (x_1 \vee x_1 \vee x_2) \wedge (\overline{x_1} \vee \overline{x_2} \vee \overline{x_2}) \wedge (\overline{x_1} \vee x_2 \vee x_2)$$

S	2	1	$c_3$	$c_2$	$c_1$
$y_1$	0	1	0	0	1
$z_1$	0	1	1	1	0
$y_2$	1	0	1	0	1
$z_2$	1	0	0	0	0
$g_1$					
$h_1$					
$g_2$					
$h_2$					
$g_3$					
$h_3$					

5. Schritt:

Für jedes Literal  $\overline{x_i}$  in Klausel  $c_j$  addiere  $10^{j-1}$  zu  $z_j$



# Das Teilsummenproblem

➤ Beispiel für

$$\psi = (x_1 \vee x_1 \vee x_2) \wedge (\overline{x_1} \vee \overline{x_2} \vee \overline{x_2}) \wedge (\overline{x_1} \vee x_2 \vee x_2)$$

S	2	1	$c_3$	$c_2$	$c_1$
$y_1$	0	1	0	0	1
$z_1$	0	1	1	1	0
$y_2$	1	0	1	0	1
$z_2$	1	0	0	1	0
$g_1$					
$h_1$					
$g_2$					
$h_2$					
$g_3$					
$h_3$					

5. Schritt:

Für jedes Literal  $\overline{x_i}$  in Klausel  $c_j$  addiere  $10^{j-1}$  zu  $z_j$



# Das Teilsummenproblem

➤ Beispiel für  $\psi = (x_1 \vee \bar{x}_1 \vee x_2) \wedge (\bar{x}_1 \vee \bar{x}_2 \vee \bar{x}_2) \wedge (\bar{x}_1 \vee x_2 \vee x_2)$

S	2	1	$c_3$	$c_2$	$c_1$
$y_1$	0	1	0	0	1
$z_1$	0	1	1	1	0
$y_2$	1	0	1	0	1
$z_2$	1	0	0	1	0
$g_1$			0	0	1
$h_1$			0	0	1
$g_2$			0	1	0
$h_2$			0	1	0
$g_3$			1	0	0
$h_3$			1	0	0

**6. Schritt:**  
Initialisiere  $g_j, h_j$  mit  $10^{j-1}$



# Das Teilsummenproblem

➤ Beispiel für  $\psi = (x_1 \vee \bar{x}_1 \vee x_2) \wedge (\bar{x}_1 \vee \bar{x}_2 \vee \bar{x}_2) \wedge (\bar{x}_1 \vee x_2 \vee x_2)$

S	2	1	$c_3$	$c_2$	$c_1$
$y_1$	0	1	0	0	1
$z_1$	0	1	1	1	0
$y_2$	1	0	1	0	1
$z_2$	1	0	0	1	0
$g_1$			0	0	1
$h_1$			0	0	1
$g_2$			0	1	0
$h_2$			0	1	0
$g_3$			1	0	0
$h_3$			1	0	0
$t$	1	1	3	3	3

7. Schritt:

Wähle  $t$  als  $(k+m)$ -stellige Dezimalzahl, bestehend aus  $k$  1en gefolgt von  $m$  3en



# Das Teilsummenproblem

➤  $\psi \in \mathbf{3-SAT} \rightarrow (\mathbf{S}, t) \in \mathbf{SUBSET-SUM}$

- Falls  $x_i$  wahr in erfüllender Belegung, füge  $y_i$  zur Teilsumme hinzu, andernfalls  $z_i$
- Die linken  $k$  Stellen von  $t$  sind 1en
- $\psi$  erfüllbar
  - jede Klausel erfüllbar
  - in der Summe wenigstens eine 1 pro Klausel-Spalte
  - fülle Teilsumme mit  $g_i, h_i$  auf, so dass jede Klausel-Spalte in der Summe 3 hat
- Damit  $(\mathbf{S}, t) \in \mathbf{SUBSET-SUM}$

S	2	1	$c_3$	$c_2$	$c_1$
$y_1$	0	1	0	0	1
$z_1$	0	1	1	1	0
$y_2$	1	0	1	0	1
$z_2$	1	0	0	1	0
$g_1$			0	0	1
$h_1$			0	0	1
$g_2$			0	1	0
$h_2$			0	1	0
$g_3$			1	0	0
$h_3$			1	0	0
$t$	1	1	3	3	3



# Das Teilsummenproblem

➤ Beispiel für  $\psi = (x_1 \vee \bar{x}_1 \vee x_2) \wedge (\bar{x}_1 \vee \bar{x}_2 \vee \bar{x}_2) \wedge (\bar{x}_1 \vee x_2 \vee x_2)$

S	2	1	$c_3$	$c_2$	$c_1$
$y_1$	0	1	0	0	1
$z_1$	0	1	1	1	0
$y_2$	1	0	1	0	1
$z_2$	1	0	0	1	0
$g_1$			0	0	1
$h_1$			0	0	1
$g_2$			0	1	0
$h_2$			0	1	0
$g_3$			1	0	0
$h_3$			1	0	0
$t$	1	1	3	3	3

$\psi$  ist erfüllbar ( $x_1 = \text{falsch}, x_2 = \text{wahr}$ )

es gibt eine Teilmenge  $\{z_1, y_2, g_1, h_1, g_2, h_2, g_3\}$  von S, deren Summe t ist



# Das Teilsummenproblem

➤  $(S, t) \in \text{SUBSET-SUM} \rightarrow \psi \in \text{3-SAT}$

– Beobachtungen:

- alle Ziffern der Zahlen aus  $S$  sind entweder 0 oder 1
- in jeder Klausel-Spalte können nach Konstruktion niemals mehr als fünf 1en stehen

→ es kann keinen Übertrag geben

- Damit die linken  $k$  Stellen von  $t$  1en sind, muss in der Teilsumme für jedes  $i$  entweder  $y_i$  oder  $z_i$  enthalten sein

– Falls die Teilsumme  $y_i$  enthält, setze  $x_i = \text{„wahr“}$ ,

- andernfalls ( $z_i$  in Teilsumme) setze  $x_i = \text{„falsch“}$

– Teilsumme hat eine 3 in allen Klausel-Spalten

– Potentielle Summanden  $g_i, h_i$  können max. 2 beitragen

→  $y_i, z_i$  in Teilsumme haben min. eine 1 pro Klausel-Spalte

→ jede Klausel erfüllbar

→  $\psi \in$  erfüllbar



# Approximation

---

## ➤ Ziele dieser Vorlesung:

- Verständnis der Begriffe
  - Approximations-Güte
  - Approximations-Algorithmus
  - Approximations-Schema
- Verständnis der Beispiel-Algorithmen für die Probleme
  - Vertex Cover (Knotenüberdeckung)
  - Traveling Salesman Problem (TSP)



# Motivation

- **Viele wichtige Probleme sind NP-vollständig**
  - (also nicht effizient lösbar unter der Annahme  $P \neq NP$ )
- **Diese sind zu wichtig um sie zu ignorieren**
- **Mögliche Lösungen:**
  - Für kleine  $n$  ist exponentielle Laufzeit OK
  - Spezialfälle vielleicht in polynomieller Zeit lösbar
  - Vielleicht tritt worst-case Laufzeit extrem selten auf
  - Möglicherweise kann eine beweisbar gute Näherungs- Lösung in polynomieller Zeit berechnet werden



# Konzepte und Terminologie (1)

- **Wir betrachten Optimierungsprobleme**
- **Problem X hat viele Lösungen**
- **Wir suchen Lösung S für X, die eine Kostenfunktion  $c(S)$  minimiert oder maximiert.**
  - Beispiele für Graphen:
    - finde einen minimalen Spannbaum eines Graphen
    - finde einen minimalen Hamiltonkreis
- **Seien  $C, C^*$  Kosten der approximierten bzw. optimalen Lösung.**
- **Ein Approximations Algorithmus hat Approximations-Güte  $\rho(n)$ ,**
  - falls für jede Eingabegröße  $n$

$$\max \left( \frac{C}{C^*}, \frac{C^*}{C} \right) \leq \rho(n)$$



# Konzepte und Terminologie (2)

- **Approximations Algorithmus mit Güte  $\rho(n)$  wird als  $\rho(n)$ -Approximations Algorithmus bezeichnet**
- **Approximations-Schema**
  - Approximations Algorithmus mit zusätzlichem Parameter  $\varepsilon > 0$  der  $(1+\varepsilon)$ -Approximation liefert
  - Falls Laufzeit polynomiell in  $n$  für jedes feste  $\varepsilon$ , spricht man von einem ***polynomiellen Approximations-Schema*** (polynomial time approximation scheme, ***PTAS***)
  - Falls Laufzeit polynomiell in  $n$  und  $\varepsilon$  (z.B.  $(1+\varepsilon)^2 n^2$ ), spricht man von einem ***streng polynomiellen Approximations-Schema***



# Vertex Cover Problem

## ➤ Szenario:

- Alte Netzwerk-Router (Knoten) sollen gegen neue ausgetauscht werden, die Netzwerkverbindungen (Kanten) überwachen können.
- Zum Überwachen einer Verbindung genügt es, wenn ein Router adjazent ist. Wieviele neue Router werden mindestens benötigt?

## ➤ Formal:

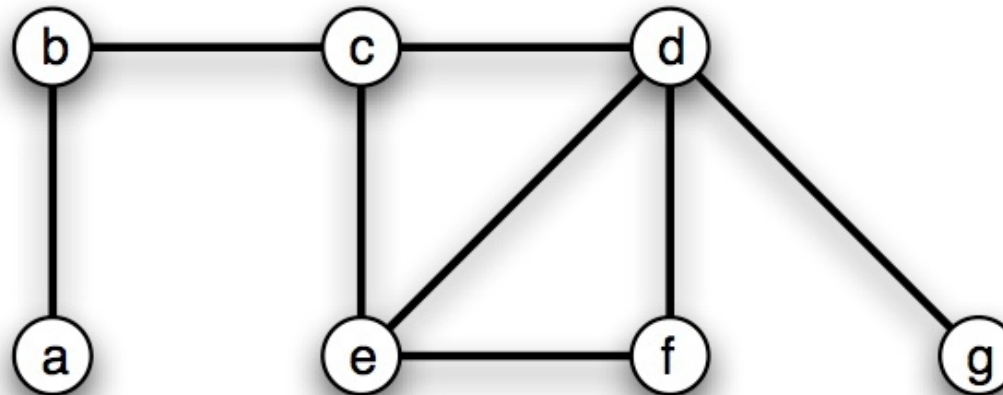
- Gegeben  $G = (V, E)$ .
- Finde minimale Teilmenge  $V'$  so dass
  - für alle  $(u,v) \in E$  gilt:  
 $u \in V'$  oder  $v \in V'$ .



# Approximation für Vertex Cover

**ApproxVertexCover( $G(V,E)$ )**

1.  $C \leftarrow \emptyset$
2.  $E' \leftarrow E$
3. solange  $E' \neq \emptyset$
4.     wähle  $\{u,v\}$  zufällig
5.      $C \leftarrow C \cup \{u,v\}$
6.     entferne zu  $u$  oder  $v$  inzidente Kanten aus  $E'$
7. gebe  $C$  aus

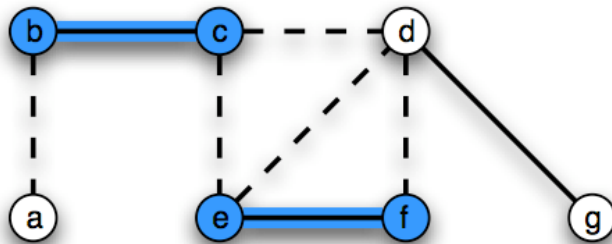




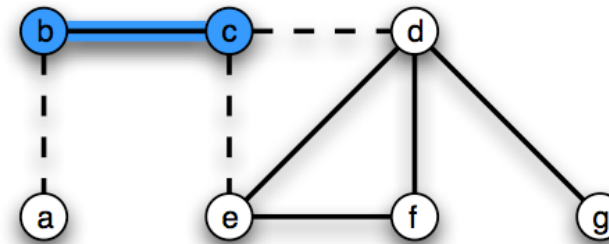
# Beispiel

APPROXVERTEXCOVER( $G(V, E)$ )

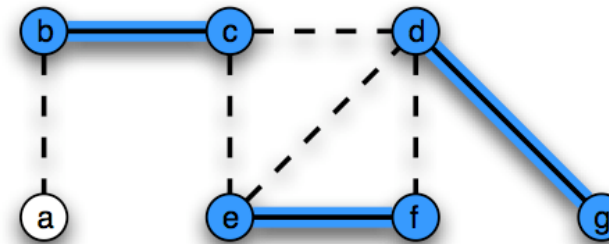
- 1  $C \leftarrow \emptyset$
- 2  $E' \leftarrow E$
- 3 so lange  $E' \neq \emptyset$
- 4 wähle  $\{u, v\} \in E'$  zufällig
- 5  $C \leftarrow C \cup \{u, v\}$
- 6 entferne zu  $u, v$  inzidente Kanten aus  $E'$
- 7 gebe  $C$  aus



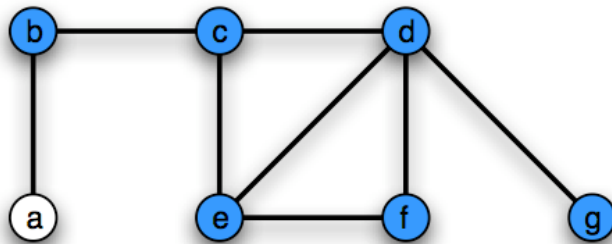
(1)



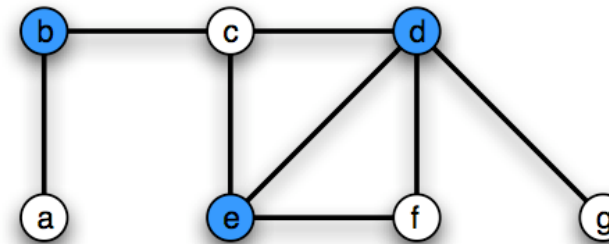
(2)



(3)



(4)



(minimale Lösung)



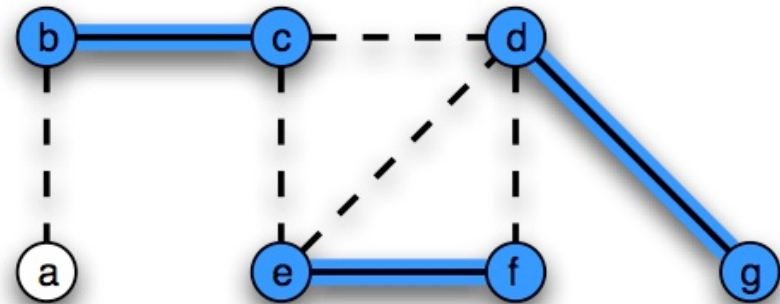
# Analyse: ApproxVertexCover (1)

➤ **Theorem:**

- ApproxVertexCover hat Güte 2 und Laufzeit  $O(E)$

➤ **Beweis:**

- Korrektheit, d.h. Lösung C ist Vertex Cover
  - Algorithmus läuft bis jede Kante in E zu Knoten in C inzident ist
- Güte 2
  - Sei A Menge der in Zeile 4 gewählten Kanten (blau)
  - Keine 2 Kanten in A teilen einen Endpunkt
    - (sobald Kante gewählt, werden alle inzidenten Kanten entfernt)
  - Jede Iteration fügt 2 neue Knoten zu C hinzu,  $|C| = 2 |A|$
  - Minimales Vertex Cover  $C^*$  muss wenigstens einen Knoten jeder Kante in A enthalten
  - Da keine Kanten in A Endpunkte teilen:  $|A| \leq |C^*|$
  - somit gilt  $|C| \leq 2|C^*|$

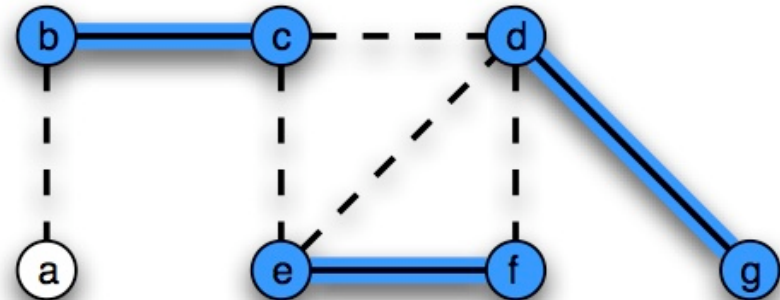




# Analyse: ApproxVertexCover (2)

ApproxVertexCover( $G(V,E)$ )

1.  $C \leftarrow \emptyset$
2.  $E' \leftarrow E$
3. solange  $E' \neq \emptyset$
4.     wähle  $\{u,v\}$  zufällig
5.      $C \leftarrow C \cup \{u,v\}$
6.     entferne zu  $u$  oder  $v$  inzidente Kanten aus  $E'$
7.     gebe  $C$  aus



➤ **Theorem:**

- ApproxVertexCover hat Güte 2 und Laufzeit  $O(E)$

➤ **Beweis:**

- Laufzeit  $O(E)$ 
  - In jeder Iteration wird eine Kante aus  $E'$  entfernt
  - bei geeigneter Datenstruktur für  $E'$ : Laufzeit  $O(E)$



# Traveling Salesman Problem (TSP)

Albert-Ludwigs-Universität Freiburg  
Institut für Informatik  
Rechnernetze und Telematik  
Prof. Dr. Christian Schindelbauer

➤ **Gegeben:**

- vollständiger Graph  $G=(V,E)$
- Kostenfunktion  $c(u,v)$  für alle  $(u,v) \in E$

➤ **Gesucht:**

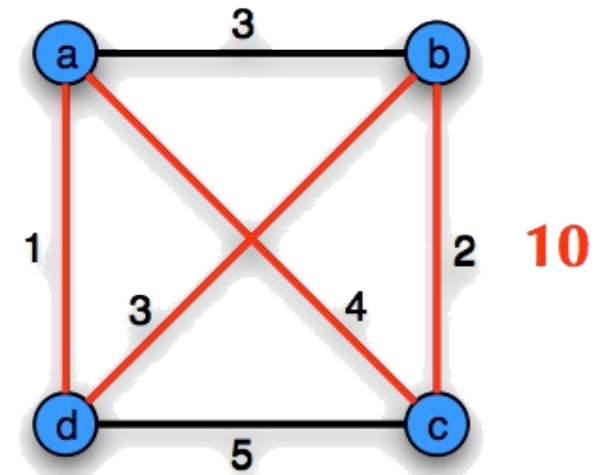
- Hamiltonkreis (Tour) mit minimalen Kosten

➤ **Theorem:**

- Falls  $P \neq NP$  existiert kein polynomieller Approximations-Algorithmus für TSP mit konstanter Güte

➤ **Beweis:**

- Annahme es existiert ein Algorithmus, der TSP in pol. Zeit löst
- Man kann zeigen: Hamiltonkreis  $\leq_{m,p}$  TSP
- Wir wissen: Hamiltonkreis ist NP-vollständig
- Also kann A nicht existieren, falls  $P \neq NP$





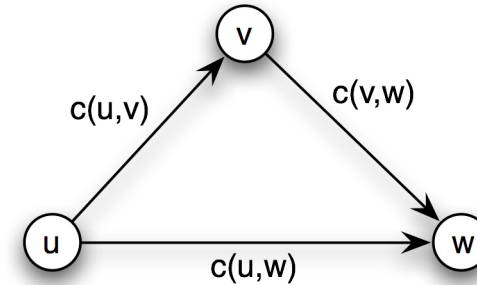
# Traveling Salesman Problem

Albert-Ludwigs-Universität Freiburg  
Institut für Informatik  
Rechnernetze und Telematik  
Prof. Dr. Christian Schindelbauer

➤ **TSP mit Einschränkung:  $\Delta$ -TSP**

➤ **Gegeben:**

- vollständiger Graph  $G=(V,E)$
- Kostenfunktion  $c(u,v)$  für alle  $(u,v) \in E$



$$\forall u, v, w \in V : c(u, w) \leq c(u, v) + c(v, w)$$

➤ **Gesucht:**

- Hamiltonkreis (Tour) mit minimalen Kosten

➤ **Beschränkung der Gewichte durch Dreiecksungleichung ist „natürlich“:**

- ist in vielen Anwendungsfällen automatisch erfüllt
- z.B. wenn Gewichte Entfernungen im Euklidischen Raum repräsentieren

➤ **Aber: Auch  $\Delta$ -TSP ist NP-schwierig!**

- wird hier nicht bewiesen



# Approximation für $\Delta$ -TSP

---

## ➤ Lösungsansatz:

- Gibt es ein ähnliches/verwandtes Problem?
- Ist es einfacher zu berechnen?

## ➤ Minimale Spannbäume

- MST: Minimal Spanning Tree
- Aber: wie kann ein MST in eine kürzeste Tour umgeformt werden?

## ➤ Idee:

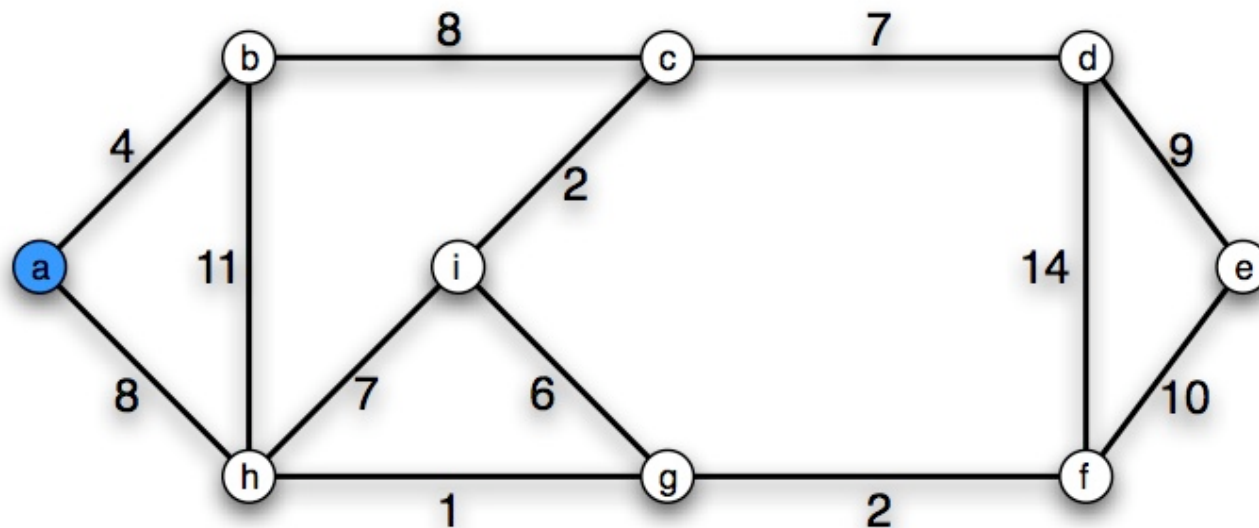
- bei Tiefensuche im MST wird jede Kante zweimal traversiert
- Besuche alle Knoten in der Reihenfolge eines Pre-Order Tree-Walks



# Prims Algorithmus zur Berechnung des MST

## MST-PRIM(G)

1. Initialisiere Baum B mit beliebigen Knoten
2. Wiederhole bis B alle Knoten enthält oder nicht erweitert werden kann
  - Erweitere B mit Kante mit geringstem Gewicht, die B mit dem Rest von G verbindet





# Approximation für $\Delta$ -TSP

APPROX- $\Delta$ -TSP( $G, c$ )

1 wähle Knoten  $v \in V$

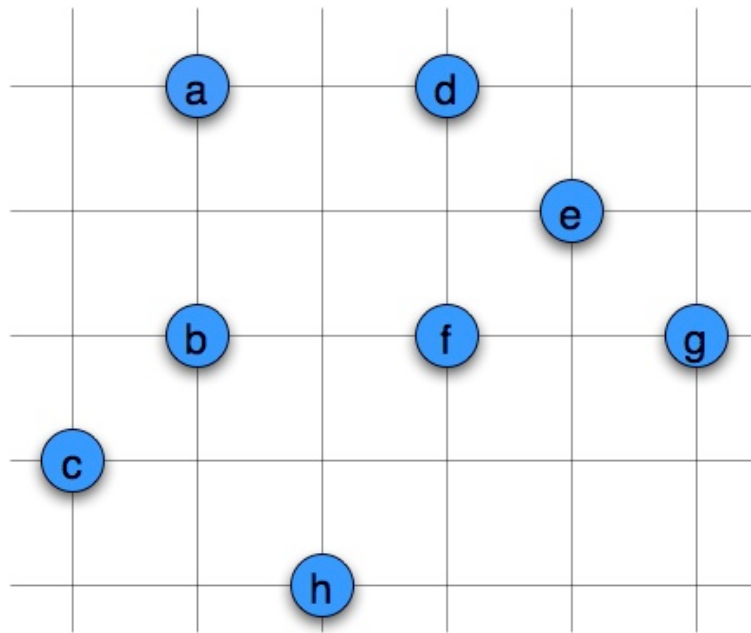
2 berechne minimalen Spannbaum  $T$  für  $G$  mit Wurzel  $v$

3 konstruiere Liste  $L$  der Knoten die durch pre-order tree-walk in  $T$  entsteht

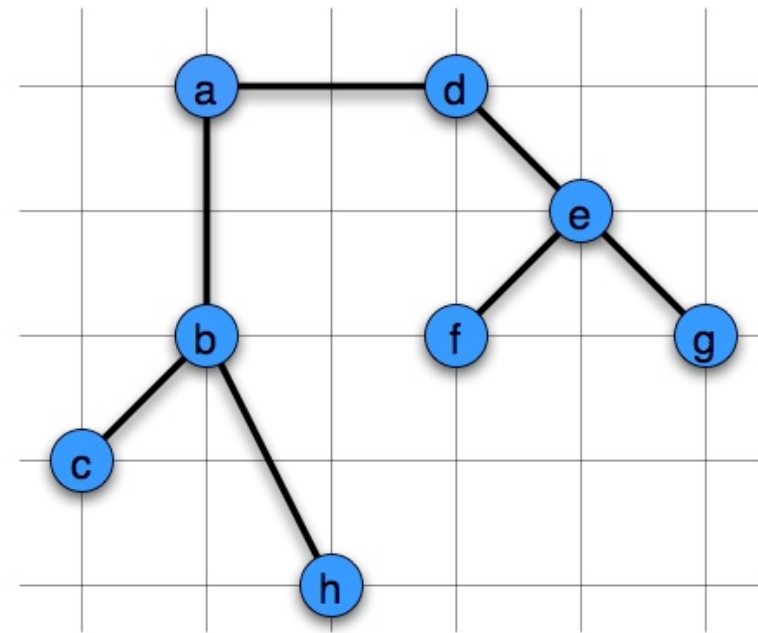
4 Gebe den durch  $L$  definierten Hamiltonkreis aus

Graph  $G$

(gew. gemäß euklidischer Distanz)



Spannbaum  $T$  mit Wurzel  $A$





# Approximation für $\Delta$ -TSP

APPROX- $\Delta$ -TSP( $G, c$ )

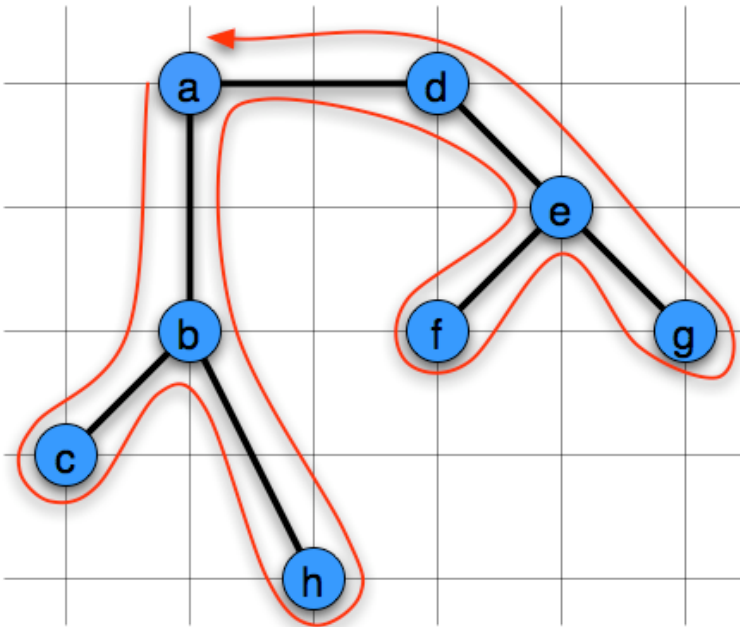
1 wähle Knoten  $v \in V$

2 berechne minimalen Spannbaum  $T$  für  $G$  mit Wurzel  $v$

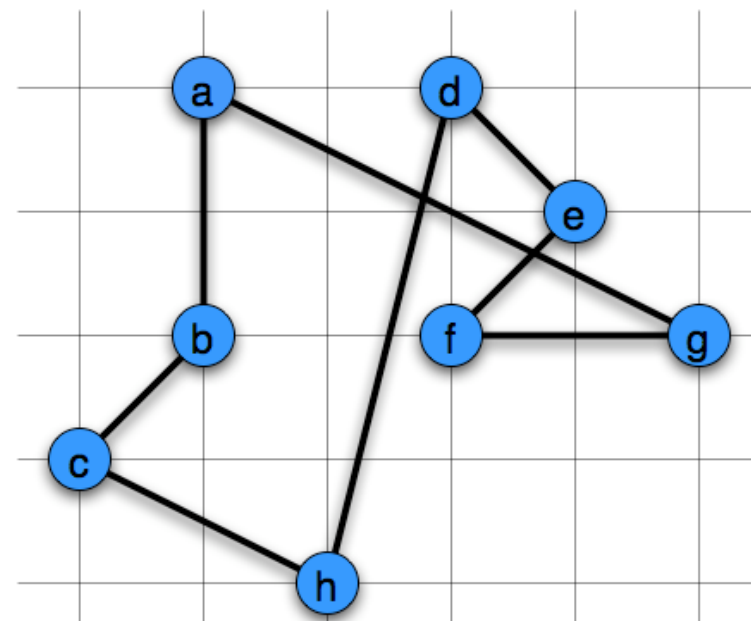
3 konstruiere Liste  $L$  der Knoten die durch pre-order tree-walk in  $T$  entsteht

4 Gebe den durch  $L$  definierten Hamiltonkreis aus

pre-order tree-walk:  
( $a, b, c, h, d, e, f, g$ )



durch  $L$  definierter Hamiltonkreis:





# Approximation für $\Delta$ -TSP

APPROX- $\Delta$ -TSP( $G, c$ )

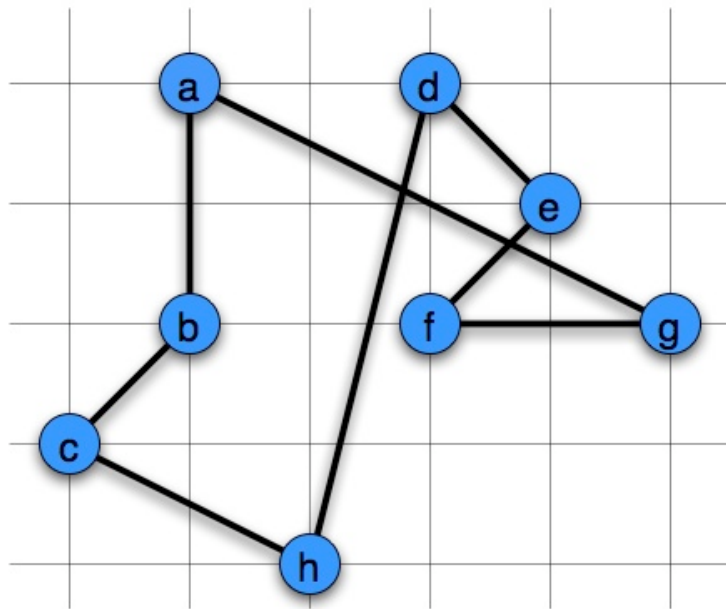
1 wähle Knoten  $v \in V$

2 berechne minimalen Spannbaum  $T$  für  $G$  mit Wurzel  $v$

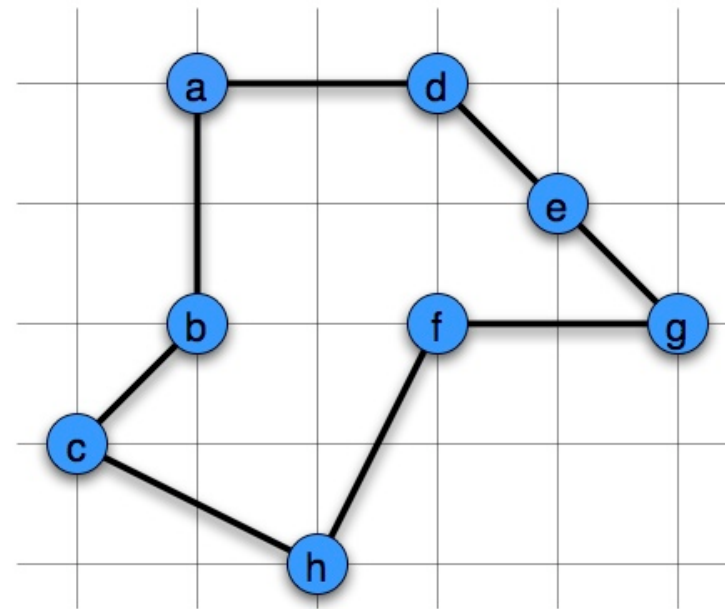
3 konstruiere Liste  $L$  der Knoten die durch pre-order tree-walk in  $T$  entsteht

4 Gebe den durch  $L$  definierten Hamiltonkreis aus

durch  $L$  definierter Hamiltonkreis:



minimaler Hamiltonkreis:





# Approximation für $\Delta$ -TSP

APPROX- $\Delta$ -TSP( $G, c$ )

1 wähle Knoten  $v \in V$

2 berechne minimalen Spannbaum  $T$  für  $G$  mit Wurzel  $v$

3 konstruiere Liste  $L$  der Knoten die durch pre-order tree-walk in  $T$  entsteht

4 Gebe den durch  $L$  definierten Hamiltonkreis aus

➤ **Theorem:**

– Approx- $\Delta$ -TSP hat Laufzeit  $\Theta(E) = \Theta(|V|^2)$

➤ **Theorem:**

– Approx- $\Delta$ -TSP ist Approximations-Algorithmus für  $\Delta$ -TSP mit Güte 2

➤ **Beweis:**

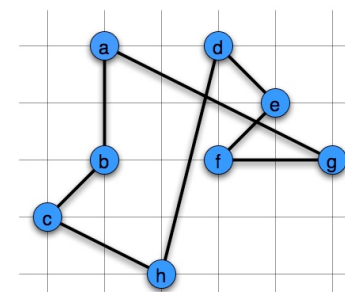
– Sei  $H$  Ergebnis von Approx- $\Delta$ -TSP und  $H^*$  optimale Lösung

– Seien Kosten einer Tour  $A$  definiert durch:

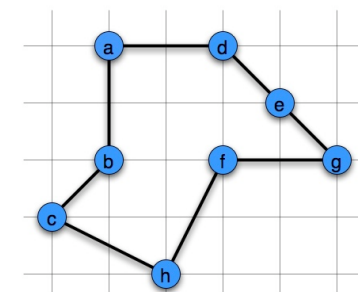
$$c(A) = \sum_{(u,v) \in A} c(u,v)$$

– Theorem besagt:  $c(H) \leq 2 c(H^*)$

durch  $L$  definierter Hamiltonkreis:



minimaler Hamiltonkreis:





# Approximation für $\Delta$ -TSP

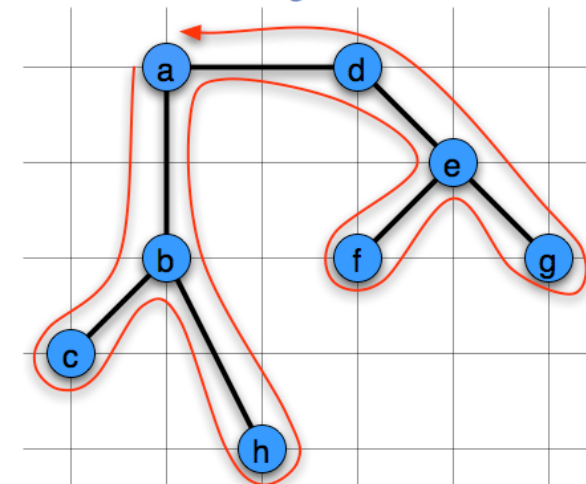
## ➤ Theorem:

- Approx- $\Delta$ -TSP ist Approximations-Algorithmus für  $\Delta$ -TSP mit Güte 2

## ➤ Beweis (Fortsetzung):

- Sei T der erzeugte Spannbaum. Es gilt:  $c(T) \leq c(H^*)$ 
  - Streichen einer Kante liefert in  $H^*$  liefert Spannbaum mit Kosten  $\leq c(H^*)$
- Betrachte Folge F der Kanten die beim pre-order walk besucht werden:
  - z.B.  $F = (a, b, c, b, h, b, a, d, e, f, e, g, e, a)$
  - F besucht jede Kante zweimal, somit gilt:
    - $c(F) = 2c(T)$
- Daraus folgt  $c(F) \leq 2c(H^*)$
- H entsteht durch Streichen von Knoten in F. Wegen Dreiecksungleichung folgt
  - $c(H) \leq c(F)$
- Nun folgt:
  - $c(H) \leq 2 c(H^*)$

pre-order tree-walk:  
(a, b, c, h, d, e, f, g)





# Anmerkungen zum TSP

- **Der angegebene Algorithmus kann leicht verbessert werden**
  
- **Algorithmus von Christofides liefert Güte  $3/2$**
  
- **Weiterhin hat Sanjeev Arora 1996 ein streng polynomielles Approximations-Schema vorgestellt:**
  - Eingabe:
    - eine Instanz des  $\Delta$ -TSP im  $d$ -dimensionalen Euklidischen Raum
    - und  $\varepsilon > 0$
  - Erzeugt in Zeit  $n^{O(d/\varepsilon)}$  eine Rundreise mit Güte  $1 + \varepsilon$

# *Ende der 24. Vorlesung*



Albert-Ludwigs-Universität Freiburg  
Rechnernetze und Telematik  
Prof. Dr. Christian Schindelhauer

**Christian Schindelhauer**  
Wintersemester 2006/07  
24. Vorlesung  
26.01.2007